

بررسی تداخل اثر بی دردی حاصل از *JWH133* و دوزهای معمول و بسیار ناچیز سلکوکسیب در موش سوری

دکتر زهرا قهرمانی^۱، دکتر سوده رضائی کلچ^۲، دکتر محمد رضا زرین دست^۳، دکتر بیژن جهانگیری^۴
دکتر محمد رضا جعفری^۵

نویسنده‌ی مسئول: زنجان، دانشگاه علوم پزشکی زنجان، دانشکده‌ی پزشکی، گروه فیزیولوژی و فارماکولوژی
جایزه: jafarimrj@yahoo.com
پذیرش: ۸۸/۶/۲۸ دریافت: ۸۸/۶/۹

چکیده

زمینه و هدف: *JWH133* به عنوان آگونیست گیرنده‌ی کانابینوئیدی ۲-شناخته شده است که واجد اثر ضد درد است. سلکوکسیب (یک مهار کننده‌ی اختصاصی آنزیم سیکلوکسیتاز ۲) به عنوان یک داروی ضد درد، کاربرد بالینی دارد و احتمالاً در مسیر سیکلوکسیتاز به همراه اثر بی دردی کانابینوئیدها دخالت می‌نماید. هدف از مطالعه‌ی حاضر بررسی اثر سلکوکسیب با دوز معمول و ناچیز بر بی دردی حاصل از *JWH133* بوده است.

روش بررسی: در این مطالعه تداخل احتمالی تزریق دوز معمول (۵۰ میلی‌گرم بر کیلوگرم) و بسیار ناچیز (۲۵ و ۵۰ نانوگرم بر کیلوگرم) سلکوکسیب بر روی اثر بی دردی حاصل از تزریق داخل صفاقی *JWH133* با استفاده از آزمون فرمالین در موش سوری شده است.

یافته‌ها: *JWH133* فقط در مرحله‌ی یک آزمون فرمالین، اثر بی دردی نشان داد. دوز معمول (۵۰ میلی‌گرم بر کیلوگرم) و دوز بسیار ناچیز سلکوکسیب (۲۵ تا ۵۰ نانوگرم بر کیلوگرم) اثر بی دردی *JWH133* را تعویت نمود.

نتیجه‌گیری: به نظر می‌رسد که سلکوکسیب اثر بی دردی حاصل از *JWH133* را تحت تاثیر قرار داده است و در ضمن دوز معمول سلکوکسیب در تضاد با دوز بسیار ناچیز این دارو در آزمون فرمالین در موش سوری تاثیر گذار بوده است.

واژگان کلیدی: *JWH133* بی دردی، سلکوکسیب، دوز ناچیز و موش سوری

مقدمه

اشاره نمود (۱). کانابینوئیدهای درون زاد واجد اثر بی دردی هستند که این اثر از نظر قدرت و میزان تاثیر، قابل مقایسه با اوپیوئیدها می‌باشد. حداقل بخشی از تاثیر

سیستم کانابینوئیدی درون زاد در تعدادی از فرایندهای فیزیولوژیک نقش دارد از جمله آنها می‌توان به درک حس درد، تعديل رهاسازی میانجی‌های عصبی، یادگیری و حافظه

۱- پژوهش عمومی، دانشگاه علوم پزشکی زنجان

۲- پژوهش عمومی، دانشجوی تحصیلی اعصاب داخلی، دانشگاه علوم پزشکی گیلان

۳- دکترای تخصصی فارماکولوژی، استاد دانشگاه علوم پزشکی تهران

۴- دکترای تخصصی فارماکولوژی، استادیار دانشگاه علوم پزشکی زنجان

روش بررسی

حیوان آزمایشگاهی: در این تحقیق موش‌های سوری نر در محدوده وزنی ۲۹/۹ - ۲۰/۴ گرم مورد استفاده قرار گرفت. موش‌ها در گروه‌های ۷ تایی در قفس‌های پلاستیکی مخصوص (Plexiglas) با دوره‌های ۱۲ ساعته‌ی روشنایی و تاریکی با درجه‌ی حرارت 22 ± 2 درجه‌ی سانتی‌گراد پرورش داده شدند. به آنها آب و غذای استاندارد داده شد. هر حیوان فقط یک بار مورد آزمایش قرار گرفت و تمام مراحل انجام شده مطابق بر روشهای مصوب برای استفاده و مراقبت از حیوانات آزمایشگاهی بود.

JWH133 و سلکوکسیب از شرکت سیگما-آلدریچ خریداری شدند. امولسیون JWH133 با استفاده از حامل ۵% روغن سویا و دی‌متیل سولفاساید [Dimethylsulfoxide, (DMSO)] تهیه شد و سوپراسیون سلکوکسیب در سرم نمکی آماده گردید، تمام داروها به جز فرمالین به صورت داخل صفائی تزریق شد. هفت موش در هر گروه آزمایش استفاده شد. در آزمایشاتی که تزریقات متعدد داخل صفائی انجام می‌شد، دوزها طوری تنظیم شده بود که هر حیوان حداقل، حجمی معادل ۱۰ میلی‌گرم در کیلوگرم دریافت نماید. در یک سری از آزمایشات، موش‌ها در گروه شاهد، ۱۰ میلی‌لیتر بر کیلوگرم سرم فیزیولوژی یا حامل JWH133 به صورت داخل صفاتی دریافت و بقیه‌ی موش‌ها ۲۵ دقیقه قبل از آزمون نرمال ۰/۰۱، ۰/۱ و ۰/۱ میلی‌گرم بر کیلوگرم JWH133، به صورت داخل صفائی دریافت کردند. در سری دیگری از آزمایشات داروی سلکوکسیب را بر روی موش‌ها با دوزهای معمول ۵۰، ۱۰۰ و ۲۰۰ میلی‌گرم بر کیلوگرم، به صورت داخل صفائی و دوزهای بسیار پایین ۲۵ و ۵۰ نانوگرم بر کیلوگرم، به صورت داخل صفائی ۳۰ دقیقه قبل از آزمون فرمالین همراه با حامل JWH133 یا ۰/۰۱ و ۰/۱ میلی‌گرم بر کیلوگرم از JWH133 به صورت داخل صفائی، ۲۵ دقیقه قبل از آزمون

بی‌دردی کانابینوئیدهای درون زاد به تراهیدروکانابینول [Tetrahydrocannabinol(THC)] نسبت داده می‌شود، زیرا اثر بی‌دردی حاصل از THC در مدل‌های مختلف حیوانی آزمایش شده است (۲-۴). مکانیسم بی‌دردی حاصل از کانابینوئیدهای درون زاد هنوز به خوبی شناخته نشده است، متها براساس مشاهدات آزمایشگاهی به نظر می‌رسد که این مکانیسم متفاوت از مکانیسم بی‌دردی حاصل از آپیوئیدهای (۵). در سطح مولکولی، THC، اثر بی‌دردی خود را از طریق اتصال به گیرنده‌های ویژه‌ی متصل به پروتئین جی اعمال می‌کند که به عنوان گیرنده‌های کانابینوئیدی ۱ (CB_1)، که عمدتاً در مغز (۶) و گیرنده‌های CB_2 ، که عمدتاً در محیط یافته می‌گردند (۷) شناخته می‌شود. آگونیست‌های اختصاصی هر دو گیرنده (CB_1 و CB_2) شناخته شده است. آگونیست‌های متعددی برای گیرنده‌ی CB_2 ساخته شده که در میان آنها JWH133 تمایل زیادی به این گیرنده دارد (۸).

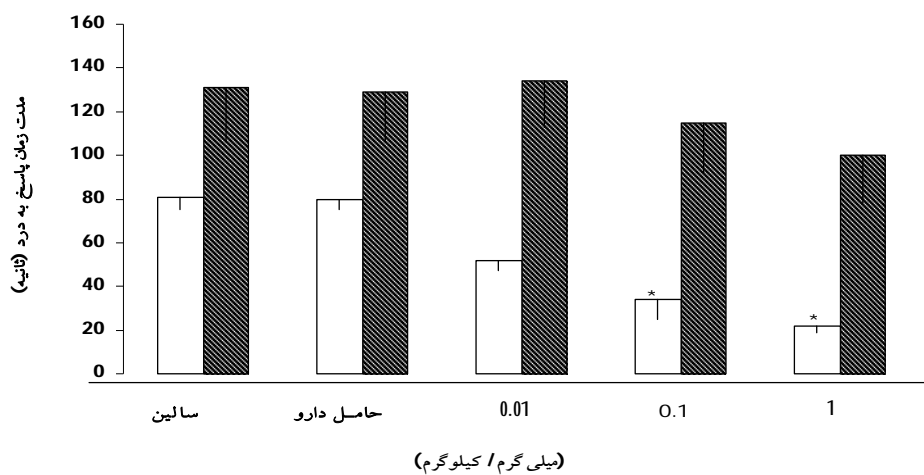
برای آزمودن اثر بی‌دردی، از آزمون استاندارد تزریق فرمالین زیرجلدی استفاده شد که توسط دنیز و دوبویسون (Deniz ، Dubuisson) در سال ۱۹۷۷ ابداع شد و سپس توسط تی‌جولسن (Tjolsen) در سال ۱۹۹۲ اصلاح گردید (۹). از آنجایی که حداقل بخشی از مکانیسم بی‌دردی حاصل از THC از طریق مسیر سیکلوکسیژنаз (COX) است (۱۰ و ۱۱)، از طرف دیگر دوزهای معمول سلکوکسیب (یک آنتاگونیست انتخابی COXII) اثرات متضادی در مقایسه با دوزهای بسیار پایین آن در یادگیری وابسته به مورفین داشته‌اند (۱۲). مطالعه‌ی حاضر به دنبال دو هدف بود. هدف اول بررسی اثر سلکوکسیب بر بی‌دردی حاصل از JWH133 و هدف دوم مقایسه اثرات دو طیف دوز سلکوکسیب شامل دوزهای معمول (میلی‌گرم در کیلوگرم) و دوزهای بسیار ناچیز (نانوگرم در کیلوگرم) بر بی‌دردی حاصل از JWH133 بود.

عنوان پاسخ درد در نظر گرفته شد. میانگین مجموع مدت زمان لیس زدن و یا گاز گرفتن پا مابین زمان‌های صفر تا ۵ دقیقه‌ی اول به عنوان مرحله اول و ۱۵ تا ۵۰ دقیقه‌ی دوم به عنوان مرحله دوم را، پاسخ درد پس از تزریق فرمالین در نظر گرفتیم. آنالیز واریانس (آنوا) یکطرفه و بدنبال آن آزمون تکمیلی نیومن کول (Newman–Keuls) برای ارزیابی بی‌دردی حاصل از یک دارو استفاده شد. آنالیز واریانس دوطرفه و بدنبال آن آزمون تکمیلی شیفه (Scheffe) برای کشف اثر سینرژیسم (synergism) یا آنتاگونیسم میان دوزهای مختلف سلکوکسیب و JWH133 مورد استفاده قرار گرفت. تفاوت بین میانگین گروه‌ها از لحاظ آماری زمانی با اهمیت تلقی شد که حداقل $P < 0.05$ بdst آمد.

نتایج

اثر تجویز آگونیست CB_2 بر درک درد در آزمون فرمالین: نمودار ۱ نمایانگر اثر دوزهای مختلف JWH133 در موش‌ها در هر دو مرحله‌ی یک و دو آزمون فرمالین می‌باشد.

فرمالین تجویز کردند. در آزمون درد به روش فرمالین، تزریق فرمالین منجر به یک پاسخ دو مرحله‌ای می‌گردد، که در بر دارنده‌ی پاسخ‌های رفتاری (۹) و الکتروفیزیولوژیک (۱۴) می‌باشد، مرحله‌ی اول یک پاسخ مربوط به حجم داروی تزریق شده می‌باشد و مرحله‌ی دوم با حساسیت نورن‌های مرتبط با درد در هر دو سطح گیرنده و شاخ خلفی نخاع مرتبط است (مرحله‌ی ۱ و ۲ آزمون فرمالین) (۱۰). به موش‌ها حداقل ۳۰ دقیقه قبل از تزریق فرمالین و شروع آزمون فرست مداده شد تا با محیط آزمایشگاه تطابق یابند. سپس حجمی معادل ۲۵ واحد از فرمالین $2/5$ درصد به صورت زیر جلدی به کف پای عقبی سمت راست حیوان با استفاده از سرنگ انسولین تزریق شد. بلافارسله پس از تزریق فرمالین موش‌ها تک تک داخل یک استوانه‌ی پلاستیکی بر روی یک سطح شیشه‌ای صاف گذاشته شده، یک آئینه با زاویه‌ی ۴۵ درجه زیر استوانه تعییه شده بود که امکان مشاهده‌ی دقیق کف پای موش‌ها را فراهم می‌آورد. پاسخ درد، بلافارسله پس از تزریق فرمالین برای یک محدوده‌ی زمانی ۵۰ دقیقه‌ای ارزیابی شد. مجموع مدت نرمان لیس زدن یا گاز گرفتن پای مزبور به

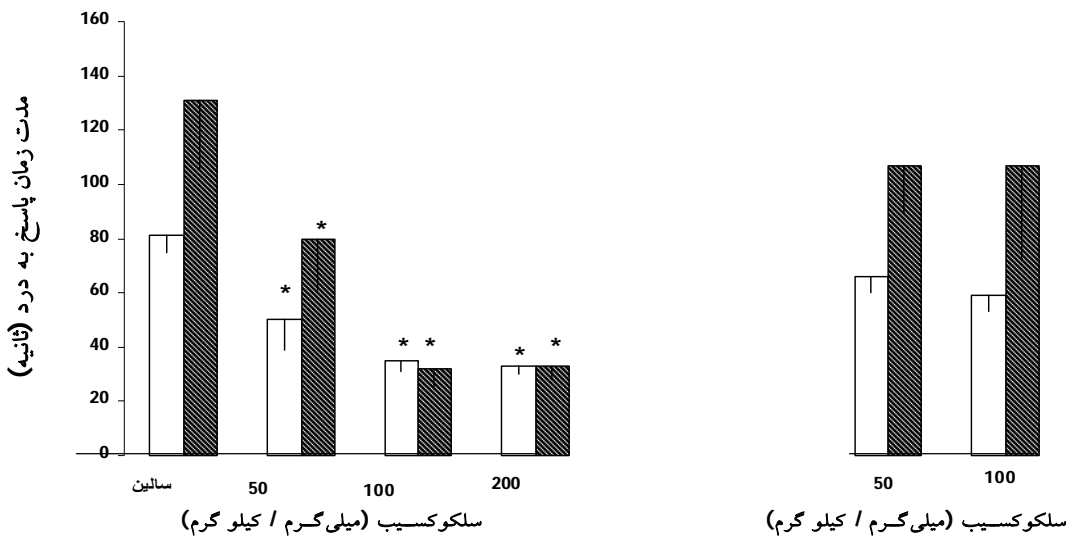


نمودار ۱. تاثیر تجویز دوزهای مختلف JWH133 بر مدت پاسخ درد در آزمون فرمالین در مقایسه با گروه شاهد. ستون‌های سمت چپ نمایانگر مرحله‌ی اول و ستون‌های سمت راست نمایانگر مرحله‌ی دوم آزمون فرمالین می‌باشد. هر ستون بیان گر میانگین ± خطای استاندارد ۷ حیوان می‌باشد. ($P < 0.05 = *$) گروه شاهد دریافت کننده‌ی حامل دارو بود.

کیلوگرم دارو به دست آمد. اما دارو هیچ‌گونه اثر ضد درد بازار در مرحله‌ی دوم آزمون فرمالین نشان نداد ($P=0.385$ ، $F=30/4$).

اثرات سلکوکسیب بر درد در آزمون فرمالین: شکل ۲ نمایانگر اثر دوزهای معمول (میلی‌گرم در کیلوگرم) و بسیار کم ULD (نانوگرم در کیلوگرم) سلکوکسیب بر روی آزمون فرمالین در هر دو مرحله‌ی یک و دو در آزمون فرمالین می‌باشد.

حامل JWH133 هیچ‌گونه اثر بی‌دردی در مرحله‌ی یک و دو نشان نداد ($P>0.05$). آنالیز واریانس یک‌طرفه نشان داد که تزریق JWH133 با دوزهای 0.01 ، 0.1 و 1 میلی‌گرم بر کیلوگرم به صورت داخل صفاقی یک پاسخ بی‌دردی وابسته به دوز را فقط در مرحله اول دارد. بر اساس تست آندا ($FC=4.30$ ، $P=0.001$). بر اساس تست نیومن کنت ($P<0.05$) حداقل پاسخ با دوز یک میلی‌گرم بر



نمودار ۲. تاثیر تجویز دوزهای مختلف سلکوکسیب بر مدت پاسخ درد در مقایسه با گروه شاهد. ستون‌های سمت چپ نمایانگر مرحله‌ی اول و ستون‌های سمت راست نمایانگر مرحله‌ی دوم آزمون فرمالین می‌باشد. هر ستون بیان‌گر میانگین \pm خطای استاندارد ۷ حیوان می‌باشد. $P<0.05$ گروه شاهد دریافت کننده سرم نمکی بود.

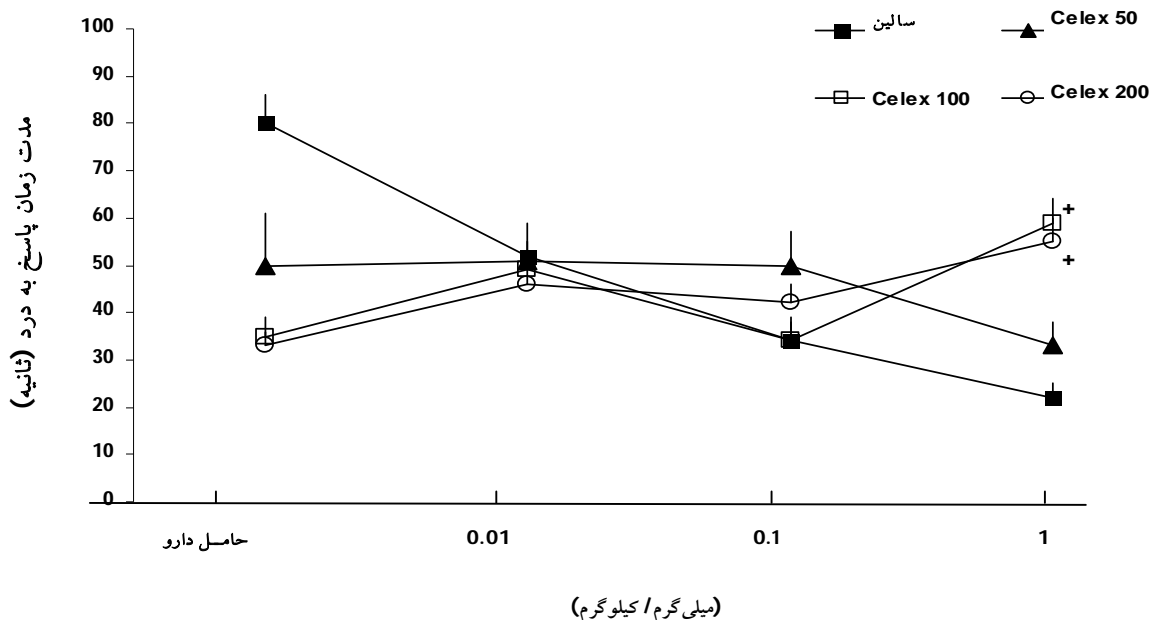
آنالیز واریانس یک‌طرفه نشان داد که تزریق داخل صفاقی دوزهای 25 و 50 نانوگرم بر کیلوگرم سلکوکسیب هیچ‌گونه اثر بی‌دردی در هر دو مرحله نشان نداد: برای مرحله‌ی اول $P=0.065$ و برای مرحله‌ی دوم $P=0.797$.

اثرات سلکوکسیب در دوزهای میلی‌گرم بر کیلوگرم و نانو گرم بر کیلوگرم بر روی بی‌دردی حاصل از JWH133

آنالیز واریانس یک‌طرفه نشان داد که تزریق داخل صفاقی دوزهای معمول سلکوکسیب (50 ، 100 و 200 میلی‌گرم بر کیلوگرم) باعث القای یک اثر بی‌دردی در هر دو مرحله‌ی اول و دوم آزمون گردید، در مرحله‌ی اول آزمون ($P<0.0001$) و $P<0.05$ بر اساس آزمون نیومن کول) در مرحله‌ی دوم آزمون ($P<0.0001$) و $(P<0.05$ بر اساس آزمون نیومن کول)

(P<0.0001). آزمون تکمیلی شف به دنبال آنالیز واریانس دوطرفه نشان داد که یک تداخل آنتاگونیستی میان اثر بی دردی سلکوکسیب و بیشترین دوز مؤثر (JWH133 ۱ میلی گرم بر کیلو گرم) وجود دارد (نمودار ۳).

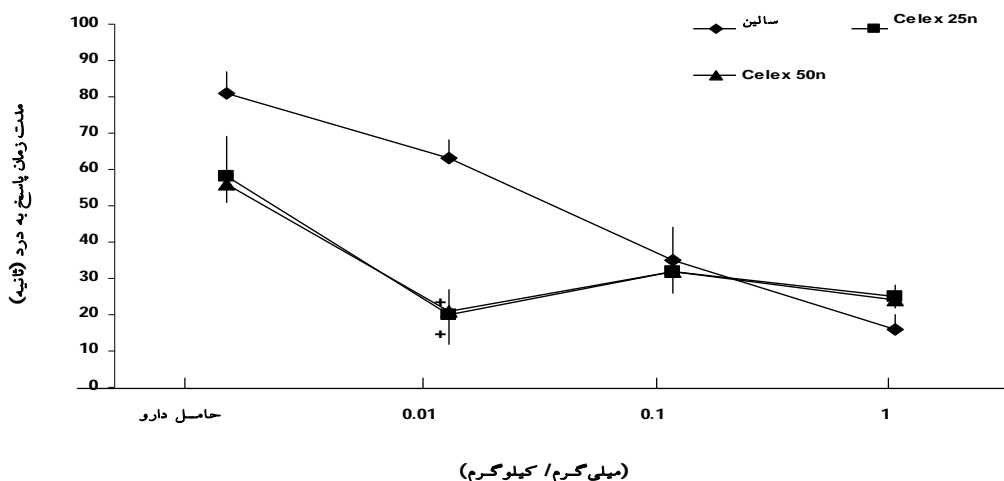
در مرحله‌ی اول آزمون فرمالین: آنالیز واریانس دوطرفه نشان داد که در مرحله‌ی اول اثر بی دردی JWH133 تحت تاثیر دوز معمول سلکوکسیب قرار می‌گیرد. برای دوز ۵۰ میلی گرم بر کیلو گرم (P<0.0001) برای دوز ۱۰۰ میلی گرم بر کیلو گرم (P<0.0001) و برای دوز ۲۰۰ میلی گرم بر کیلو گرم (P<0.0001) و برای دوز ۴۰۰ میلی گرم بر کیلو گرم (P<0.0001) نیز اثربخشی داشتند.



نمودار ۳. تاثیر تجویز دوزهای معمول (میلی گرم بر کیلو گرم) سلکوکسیب (۵۰ تا ۲۰۰ میلی گرم بر کیلو گرم) بر بی دردی حاصل از تزریق JWH133 در موش سوری در مرحله‌ی ۱ آزمون فرمالین. هر ستون بیانگین ± خطای استاندارد ۷ حیوان می‌باشد. مقایسه با گروه دریافت کننده‌ی ۱ میلی گرم بر کیلو گرم JWH133 صورت گرفت. $P<0.05$.

(سینرژیستی) بی دردی بین کمترین دوز JWH133 (۰.۰۱ میلی گرم در کیلو گرم) و دوزهای نانو گرم بر کیلو گرم سلکوکسیب وجود دارد که هر یک از این داروهای در همین دوز به تنها یک اثر بی دردی از خود نشان نداده بودند. ($P=0.04$ و $P=0.02$) (نمودار ۴).

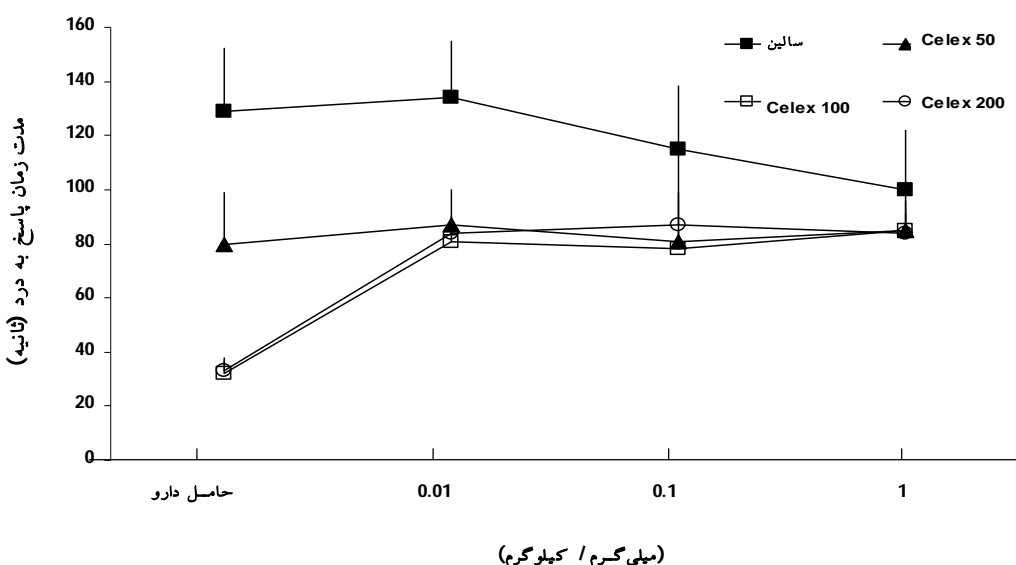
از طرف دیگر آنالیز واریانس دوطرفه نشان داد که اثر بی دردی حاصل از تزریق داخل صفاقی JWH133 تحت تاثیر دوزهای بسیار ناچیز، نانو گرم بر کیلو گرم (ng/kg) سلکوکسیب (۲۵ و ۵۰ نانو گرم بر کیلو گرم) قرار می‌گیرد. آزمون تکمیلی شف نشان داد که یک تداخل اثر هم افزائی



نمودار ۴. تاثیر تجویز دوزهای بسیار ناچیز سلکوکسیب (۲۵ و ۵۰ نانوگرم بر کیلوگرم) بر بی‌دردی حاصل از تزریق JWH133 در موش سوری در مرحله‌ی ۱ آزمون فرمالین. هر ستون بیان‌گر میانگین \pm خطای استاندارد ۷ حیوان می‌باشد. ($P < 0.05 = +$) (مقایسه با گروه دریافت‌کننده‌ی ۰.۰۱ میلی‌گرم بر کیلوگرم JWH133 صورت گرفت).

هم افزائی و یا آنتاگونیستی میان JWH133 و سلکوکسیب در مرحله‌ی دوم آزمون فرمالین دیده نشد (نمودار ۵).

اثرات سلکوکسیب بر روی بی‌دردی حاصل از JWH133 در مرحله‌ی دوم آزمون فرمالین: براساس آزمون تکمیلی شیفه هیچ نوع تداخل اثر



نمودار ۵. تاثیر تجویز دوزهای معمول (میلی‌گرم بر کیلوگرم) سلکوکسیب (۵۰ تا ۲۰۰ میلی‌گرم بر کیلوگرم) بر بی‌دردی حاصل از تزریق JWH133 در موش سوری در مرحله‌ی ۲ آزمون فرمالین. هر ستون بیان‌گر میانگین \pm خطای استاندارد ۷ حیوان می‌باشد.

بحث

میزان گسترهای مورد مطالعه قرار گرفته است (۳۰-۲۸). چن و همکاران نشان دادند که غلظت‌های نانومول آگونیست‌های اوپیوئیدی زمان پتانسیل عمل را افزایش می‌دهند در حالی که غلظت‌های میکرومول دارو اثراتی مخالف داشته‌اند (۳۱). اولیو مدمنت نشان داده‌اند که تزریق غلظت‌های نانومول مرفین موجب افزایش رهاسازی انکفالین شده است در حالی که تجویز غلظت‌های میلی‌مول موجب کاهش رهاسازی آن شده است (۳۲). بنابراین اگرچه نتایج مطالعه‌ی حاضر در مورد تاثیر متضاد دوزهای معمول و دوز بسیار ناچیز یک دارو (نانوگرم بر کیلوگرم)، یافته‌ی جدیدی نبود، ولی اولین مطالعه‌ای بود که اثرات متضاد دوز معمول یک مهار کننده‌ی سیکلواسیژنائز (سلکوکسیب) در مقایسه با دوز نانوگرم بر کیلوگرم آن را برابر بودی دردی حاصل از تحریک گیرنده‌های کانابینوئیدی (CB_2) نشان داد. کانابینوئیدها به عنوان داروهای ضددرد خواص فارماکولوژیک مشابه‌ای با اوپیوئیدها دارند. ترکیب اپیوئیدها و NSAID‌ها موجب ایجاد یک تداخل هم‌افزائی در بی‌دردی شده است که این موضوع امکان کاهش دوز هر دو دارو و در نتیجه، کاهش عوارض جانبی آنها در مقایسه با زمانی که به تنها یک استفاده می‌شوند را فراهم می‌کند (۳۳ و ۳۴). این در حالی است که نتایج مطالعه‌ی ما نشان می‌دهد که اثر بی‌دردی حاصل از کانابینوئیدها به وسیله‌ی دوز معمول سلکوکسیب مهار می‌گردد. در حالی که هر دوی این داروها در دوز به کار رفته به تنها یک واجد اثر بی‌دردی می‌باشد. از طرف دیگر دوزهای بسیار ناچیز سلکوکسیب در آزمون فرمالین در موش سوری یک تداخل هم‌افزائی با JWH133 نشان داده است، در حالی که این دو دارو در دوزهای بسیار ناچیز به تنها یک اثر بی‌دردی از خود نشان نمی‌دهند.

نتیجه‌گیری

بنابراین اگر به دنبال تاثیر هم افزائی سلکوکسیب

نتایج مطالعه‌ی حاضر، تاثیر بی‌دردی JWH133 (آگونیست اختصاصی گیرنده‌ی CB_2) در آزمون فرمالین در موش سوری را نشان داد که این نتیجه منطبق با مطالعات انجام شده قبلی می‌باشد (۱۵). نتایج این مطالعه همچنین نشان داد که تزریق یک مهار کننده‌ی اختصاصی آنزیم COXII (سلکوکسیب) اثر بی‌دردی حاصل از JWH133 را مهار می‌کند. در این ارتباط یک اختلاف نظر وجود دارد، برخی تحقیقات یک اثر هم افزائی در بی‌دردی حاصل از تجویز همزمان داروهای ضد التهاب غیر استروئیدی (NSAID) و کانابینوئیدها را گزارش نموده‌اند (۱۶) در حالی که برخی مطالعات دیگر یک تاثیر آنتاگونیستی اثر بی‌دردی را گزارش کرده‌اند (۱۷-۲۰). ممکن است این اختلاف نتیجه، میان مطالعه‌ی حاضر و مطالعاتی که تقویت اثر بی‌دردی را گزارش کرده‌اند ناشی از کاربرد NSAID غیراختصاصی همچون ایندومنتاپین در آن مطالعات باشد در حالی که در مطالعه‌ی celecoxib (COXII) حاضر یک مهار کننده‌ی انتخابی ممکن است تفاوت موردنمتناسبین در آن مطالعات باشد در حالی که در مطالعه‌ی (celecoxib) حاضر یک مهار کننده‌ی انتخابی ممکن است تفاوت جنس و گونه‌ی حیوان به کار رفته در این دو مطالعه دخالت داشته باشد. از طرف دیگر مطالعات پیشین نشان داده‌اند که کانابینوئیدها رهاسازی آراشیدونیک اسید درون زاد را تحریک و سنتز پروستاگلاندین‌ها را القاء می‌نمایند (۲۱-۲۵) که این موضوع می‌تواند توجیه کننده‌ی تداخل آنتاگونیستی میان تاثیر بی‌دردی دوزهای معمول JWH133 و سلکوکسیب (میلی‌گرم در کیلوگرم) باشد. براساس نتایج مطالعه‌ی حاضر، دوزهای معمول سلکوکسیب و دوزهای بسیار کم آن بر بی‌دردی حاصل از JWH133 در مرحله‌ی یک، تاثیر متضاد نشان دادند که این اثر مطابق با نتایج مطالعات متعدد دیگری است که نشان داده‌اند اثر دوزهای معمول برخی داروهای متضاد دوزهای بسیار کم آنها می‌باشد (۲۶ و ۲۷) اپیوئیدها از جمله داروهایی هستند که فارماکولوژی دوزهای بسیار کم آنها به

تقدیر و تشکر

این مقاله بخشنی از نتایج یک پایان نامه دکتری حرفه‌ای پزشکی می‌باشد که از طرف معاونت محترم پژوهشی دانشگاه علوم پزشکی زنجان به صورت طرح مصوب مورد حمایت مالی قرار گرفته است که بدین‌وسیله نویسندهای مقاله مراتب قدردانی خود را ابراز می‌دارند.

وکانابینوئیدها به عنوان یک کاربرد هم‌زمان بالینی باشیم، لازم است به نتایج حاصل از دوزهای مختلف دارو توجه داشته باشیم که این امر محتاج انجام مطالعات بیشتر در گونه‌های دیگر حیوانی و روش‌های دیگر ارزیابی درد و نیز مطالعات بالینی کترول شده می‌باشد.

منابع

- 1- Rodríguez de Fonseca F, Del Arco I, Bermudez-Silva FJ, Bilbao A, Cippitelli A, Navarro M. The endocannabinoid system: physiology and pharmacology. *Alcohol Alcohol*. 2005; 40: 2-14.
- 2- Dogrul A, Gul H, Akar A, Yildiz O, Bilgin F, Guzeldemir E. Topical cannabiniod antinociception: synergy with spinal sites. *Pain*. 2003; 105: 11-6.
- 3- Yesilyurt O, Dogrul A, Gul H, et al. Topical cannabinoid enhances topical morphine antinociception. *Pain*. 2003; 105: 303-8.
- 4- Yeşilyurt O, Dogrul A. Lack of cross-tolerance to the antinociceptive effects of systemic and topical cannabinoids in morphine-tolerant mice. *Neurosci Lett*. 2004; 371: 122-7.
- 5- Dewey WL. Cannabinoid pharmacology. *Pharmacol Rev*. 1986; 38: 151-78.
- 6- Matsuda LA, Lolait SJ, Brownstein MJ, Young AC, Bonner TI. Structure of a cannabinoid receptor and functional expression of the cloned cDNA. *Nature*. 1990; 346: 561-4.
- 7- Munro S, Thomas KL, Abu-Shaar M. Molecular characterization of a peripheral receptor for cannabinoids. *Nature*. 1993; 365: 61-5.
- 8- Huffman JW, Liddle J, Yu S, et al. 3-(1',1'-Dimethylbutyl)-1-deoxy-delta8-THC and related compounds: synthesis of selective ligands for the CB2 receptor. *Bioorg Med Chem*. 1999; 7: 2905-14.
- 9- Dubuisson D, Dennis SG. The formalin test: a quantitative study of the analgesic effects of morphine, meperidine, and brain stem stimulation in rats and cats. *Pain*. 1977; 4: 161-74.
- 10- Tjølsen A, Berge OG, Hunskaar S, Rosland JH, Hole K. The formalin test: an evaluation of the method. *Pain*. 1992; 51: 5-17.
- 11- Hunter SA, Burstein S, Renzulli L. Effects of cannabinoids on the activities of mouse brain lipases. *Neurochem Res*. 1986; 11: 1273-88.
- 12- Hunter SA, Burstein SH. Receptor mediation in cannabinoid stimulated arachidonic acid mobilization and anandamide synthesis. *Life Sci*. 1997; 60: 1563-73.
- 13- Khalilzadeh A, Tayebi Meybodi K, Vakili Zarch A, Zarrindast MR, Djahanguir B. Discrepancy between effects of milligram and

- nanogram doses of a COX-2 inhibitor (celecoxib) on morphine state-dependent memory of passive avoidance in mice. *Brain Res Bull.* 2005; 67: 443-7.
- 14- Dickenson AH, Sullivan AF. Peripheral origins and central modulation of subcutaneous formalin-induced activity of rat dorsal horn neurons. *Neurosci Lett.* 1987; 83: 207-11.
- 15- Ibrahim MM, Rude ML, Stagg NJ, et al. CB2 cannabinoid receptor mediation of antinociception. *Pain.* 2006; 122: 36-42.
- 16- Gühring H, Hamza M, Sergejeva M, et al. A role for endocannabinoids in indomethacin-induced spinal antinociception. *Eur J Pharmacol.* 2002; 454: 153-63.
- 17- Guindon J, De Léan A, Beaulieu P. Local interactions between anandamide, an endocannabinoid, and ibuprofen, a nonsteroidal anti-inflammatory drug, in acute and inflammatory pain. *Pain.* 2006; 121: 85-93.
- 18- Yamaguchi T, Shoyama Y, Watanabe S, Yamamoto T. Behavioral suppression induced by cannabinoids is due to activation of the arachidonic acid cascade in rats. *Brain Res.* 2001; 889: 149-54.
- 19- Anikwue R, Huffman JW, Martin ZL, Welch SP. Decrease in efficacy and potency of nonsteroidal anti-inflammatory drugs by chronic delta(9)-tetrahydrocannabinol administration. *J Pharmacol Exp Ther.* 2002; 303: 340-6.
- 20- Guindon J, Beaulieu P. Antihyperalgesic effects of local injections of anandamide, ibuprofen, rofecoxib and their combinations in a model of neuropathic pain. *Neuropharmacology.* 2006; 50: 814-23.
- 21- Burstein S, Hunter SA. Prostaglandins and cannabis-VIII. Elevation of phospholipase activity by cannabinoids in whole cells and subcellular preparations. *J Clin Pharmacol.* 1981; 21: 240-8S.
- 22- Burstein S, Hunter SA, Ozman K. Prostaglandins and cannabis. XII. The effect of cannabinoid on the synthesis of prostaglandins by human lung fibroblast. *Mol Pharmacol.* 1983; 23: 121-6.
- 23- Bhattacharya SK. Delta9-tetrahydrocannabinol (THC) increases brain prostaglandins in the rat. *Psychopharmacology.* 1986; 90: 499-502.
- 24- Laviolette M, Belanger J. Role of prostaglandins in marihuana-induced bronchodilation. *Respiration.* 1986; 49: 10-5.
- 25- Hunter SA, Audette CA, Burstein S. Elevation of brain prostaglandin E2 levels in rodents by delta-1-tetrahydrocannabinol. *Prostaglandins Leukot Essent Fatty Acids.* 1991; 43: 185-90.
- 26- Shen KF, Crain SM. Ultra-low doses of naltrexone or etorphine increase morphine's antinociceptive potency and attenuate tolerance/dependence in mice. *Brain Res.* 1997; 757: 176-90.
- 27- Jonas W, Lin Y, Tortella F. Neuroprotection from glutamate toxicity with ultra-low dose glutamate. *Neuroreport.* 2001; 12: 335-9.
- 28- Crain SM, Shen KF. Ultra-low concentrations of naloxone selectively antagonize excitatory effects of morphine on sensory neurons, thereby

- increasing its antinociceptive potency and attenuating tolerance/dependence during chronic co-treatment. *Proc Natl Acad Sci USA.* 1995; 92: 10540-4.
- 29- Crain SM, Shen KF. Acute thermal hyperalgesia elicited by low-dose morphine in normal mice is blocked by ultra-low dose naltrexone, unmasking potent opioid analgesia. *Brain Res.* 2001; 888: 75-82.
- 30- Powell KJ, Abul-Husn NS, Jhamandas A, Olmstead MC, Beninger RJ, Jhamandas K. Paradoxical effects of the opioid antagonist naltrexone on morphine analgesia, tolerance, and reward in rats. *J Pharmacol Exp Ther.* 2002; 300: 588-96.
- 31- Chen GG, Chalazonitis A, Shen KF, Crain SM. Inhibitor of cyclic AMP-dependent protein kinase blocks opioid-induced prolongation of the action potential of mouse sensory ganglion neurons in dissociated cell cultures. *Brain Res.* 1988; 462: 372-7.
- 32- Olive MF, Maidment NT. Opioid regulation of pallidal enkephalin release: bimodal effects of locally administered mu and delta opioid agonists in freely moving rats. *J Pharmacol Exp Ther.* 1998; 285: 1310-6.
- 33- Raffa RB. Pharmacology of oral combination analgesics: Rational therapy for pain. *J Clin Pharm Ther.* 2001; 26: 257-64.
- 34- Van Dyke T, Litkowski LJ, Kiersch TA, Zarringhalam NM, Zheng H, Newman K. Combination oxycodone 5 mg/ibuprofen 400 mg for the treatment of postoperative pain: a double-blind, placebo- and active-controlled parallel-group study. *Clin Ther.* 2004; 6: 2003-14.

Interaction between JWH133-induced Antinociception and two extreme Doses of Celecoxib

Ghahremani Z¹, Rezaee-Kalaj S¹, Zarrindast MR², Djahanguiry B², Jafari MR¹

¹Dept. of Physiology and Pharmacology, School of Medicine, Zanjan University of Medical Sciences, Zanjan, Iran.

²Dept. of Pharmacology, School of Medicine, Tehran University of Medical Sciences, Tehran, Iran.

Corresponding Author: Jafari MR. Dept. of Physiology and Pharmacology, School of Medicine, Zanjan University of Medical Sciences, Zanjan, Iran.

Email: jafarimrj@yahoo.com

Received: 31 Aug 2009 **Accepted:** 19 Sep 2009

Background and Objective: JWH133 is known to have cannabinoid-2 (CB2) receptor agonist properties. Celecoxib, a selective cyclooxygenase-2 (COX-2) inhibitor, is also known to have antinociceptive properties. Endocannabinoids produce analgesia possibly through cyclooxygenase (COX) pathway. The aim of the present work was: to study the effect of celecoxib on JWH133 induced antinociception and to compare the effects of two different dose ranges of celecoxib (mg/kg and nano g/kg) on the JWH133 antinociceptive effect.

Materials and Methods: We have studied the possible interaction of administration of mg/kg (50-200 mg/kg) and Ultra-Low Dose (ULD) (25 and 50 ng/kg) of celecoxib on the antinociceptive effect of intraperitoneal (i.p.) injection of JWH133 using formalin test in mice.

Results: JWH133 (0.01, 0.1 and 1 mg/kg) induced antinociceptive effect just in phase I of the formalin test. Celecoxib (50-200 mg/kg) and its ULD (25 and 50 ng/kg) attenuated and potentiated, JWH133 induced antinociception, respectively.

Conclusions: It is concluded that JWH-133 induced antinociception is modulated by celecoxib and mg/kg doses of celecoxib showed opposite effects compare to its ultra-low doses.

Key words: *JWH133, Antinociception, Celecoxib, Ultra-Low Dose (ULD), Mice*